

УДК 622.011;622.023

К МОДЕЛИ ХРУПКОГО РАЗРУШЕНИЯ ГОРНЫХ ПОРОД

ГЛУШКО А. И.

При экспериментальном исследовании разрушения горных пород в условиях квазистатического нагружения одной из основных целей является получение критерия разрушения (библиографию см. в [1, 2]).

При математическом описании разрушения горных пород под действием интенсивных быстроизменяющихся нагрузок приходится привлекать дополнительные гипотезы. Это связано с тем обстоятельством, что механические свойства среды в неразрушенном и разрушенном состояниях различны, а закономерности изменения этих свойств мало изучены. В [3–8] авторы исходят из представления о мгновенном разрушении, т. е. вводится понятие движущегося фронта разрушения, при переходе через который скачком изменяются не только физические величины (скорость, напряжения и т. д.), но и механические свойства среды. Внутренняя непротиворечивость предложенных схем разрушения показывается авторами на примере решения одномерных задач о движении фронта разрушения.

В публикуемой работе сделан анализ модели мгновенного разрушения с «сильным» критерием разрушения при сложном напряженном состоянии в условиях плоской деформации. Показано, что в рамках этой модели задача распада произвольного разрыва оказывается некорректной, и поэтому модель не может быть использована для решения задачи разрушения при сложном напряженном состоянии. Модели постепенного разрушения рассматриваться не будут.

1. Сформулируем положения модели [3]. Считается, что разрушение происходит мгновенно на распространяющейся поверхности — фронте разрушения, на котором физические величины и механические параметры среды претерпевают разрыв. Впереди этой поверхности материал неразрушен и описывается некоторой моделью сплошной среды, за поверхностью — располагается разрушенный материал. На фронте разрушения предельные значения тензора напряжений σ_{ij} со стороны неразрушенной среды должны удовлетворять определенному уравнению, критерию разрушения $\Phi(\sigma_{ij})=0$.

В [3] рассматривалась задача разрушения неограниченного горного массива зарядом BB , помещенным внутри сферической полости. Заряд после детонации превращался в газ. Неразрушенный материал описывается моделью линейно-упругого тела, а разрушенная среда — моделью упругопластического тела. Принято, что скорость возмущений в разрушенной среде a_1 меньше скорости продольных волн в неразрушенном материале a_2 , $a_1 < a_2$. Критерий разрушения: нормальные растягивающие и касательные напряжения не должны превышать некоторых предельных значений. Показано, что скорость фронта разрушения D должна удовлетворять неравенствам $0 < D < a_1$ либо $D > a_2$.

Рассмотрим случай плоской деформации, принимая, что среда в разрушенном и неразрушенном состояниях описывается моделью линейно-упругого тела. Такая схематизация продиктована двумя соображениями. Во-первых, разрушение горных пород исследовано не достаточно полно и к настоящему времени общепринятая модель разрушения не сформировалась. Во-вторых, при таком предположении можно указать на некоторые математические трудности, которые не удается обнаружить при решении одномерных задач. Обозначим через a , b , ρ с индексами 1 и 2 скорости продольных и поперечных волн и плотность в разрушенном и неразрушенном материале соответственно. Примем, что выполняются следующие неравенства:

$$b_1 < b_2 < a_1 < a_2, \quad \rho_1 \leq \rho_2 \quad (1.1)$$

Введем декартову систему координат $OXYZ$, считая, что все величины зависят от координаты x и времени t . Проекции векторов скорости и смещений на оси OX и OY обозначим u, v, U, V соответственно. Обозначим $\epsilon = \partial U / \partial x, \gamma = \partial V / \partial x$.

Используя закон Гука, выразим компоненты тензора напряжений σ_{ij} через ϵ и γ .

Системы уравнений, описывающие движения сплошной среды в разрушенном и неразрушенном состояниях, имеют вид

$$\frac{\partial u}{\partial t} = a_i^2 \frac{\partial \epsilon}{\partial x}, \quad \frac{\partial \epsilon}{\partial t} = \frac{\partial u}{\partial x} \quad (1.2)$$

$$\frac{\partial v}{\partial t} = b_i^2 \frac{\partial \gamma}{\partial x}, \quad \frac{\partial \gamma}{\partial t} = \frac{\partial v}{\partial x}$$

Здесь и ниже значение индекса $i=1$ соответствует разрушенному материалу, $i=2$ — неразрушенному.

Обозначим через $x_0 = x_0(t)$ траекторию движения фронта разрушения, $D = dx_0/dt$ — скорость фронта; $M = \rho(D-u)$.

Тогда на линии $x_0 = x_0(t)$ должны выполняться следующие динамические и кинематические условия совместности соответственно

$$[Mu + \rho a^2 \epsilon] = p_0, \quad [M] = [Mu + \rho b^2 \gamma] = 0 \quad (1.3)$$

$$[M\epsilon/\rho + u] = [M\gamma/\rho + v] = 0 \quad (1.4)$$

Здесь для скачков функций введено обозначение

$$[f] = \lim_{h \rightarrow 0} [f(t, x_0 + h) - f(t, x_0 - h)]$$

Величина p_0 в правой части (1.3) возникает в связи со следующим обстоятельством. Как известно из теории деформаций, любое деформированное состояние может быть принято в качестве отсчетного. В упругой среде напряжения являются однозначными функциями деформаций, $\sigma_{ij} = \sigma_{ij}(\epsilon_{ij})$. Если в качестве отсчетного состояния выбрать некоторое состояние, соответствующее всестороннему сжатию, то из условия $\epsilon_{ij} = 0$ следует, что $\sigma_{ij} = p_0 \delta_{ij}$; $p_0 = \text{const}$. В частности, в этом случае закон Гука (при малых деформациях) будет записываться в виде

$$\sigma_{ij} = \lambda \epsilon_{ii} \delta_{ij} + 2 \mu \epsilon_{ij} + p_0 \delta_{ij}.$$

Здесь p_0 — гидростатическое давление в отсчетном состоянии, когда $\epsilon_{ij} = 0$. Необходимо допустить, что при разрушении начальная отсчетная конфигурация, в которой до разрушения выполнялись условия $\sigma_{ij} = 0, \epsilon_{ij} = 0$, не будет соответствовать разгруженному состоянию в разрушенном материале. В частности, можно принять, что в разрушенном материале начальная отсчетная конфигурация соответствует состоянию всестороннего сжатия с давлением p_0 .

Отметим, что в работе В. Н. Николаевского¹ указывается ряд материалов, для которых разгруженная конфигурация среды в разрушенном состоянии не совпадает с начальной ненагруженной конфигурацией; в частности для этих материалов плотность среды после разрушения не совпадает с начальной плотностью.

В качестве критерия разрушения примем условие ограниченности максимальных касательных напряжений, т. е.

$$\varphi = /_2 s_{ij} s_{ij} \leq J_0 \quad (1.5)$$

Здесь $J_0 = \text{const}$, s_{ij} — компоненты девиатора тензора напряжений.

2. Рассмотрим локальную задачу Коши. Допустим, что при $t=0$ слой из неразрушенного материала ($0 < x < x_2$) приводится в соприкосновение со слоем из разрушенного материала ($x_1 < x < 0$), причем оба слоя находятся в напряженном состоянии. Пусть

$$u_1(0, x) = u_{10}(x), \quad v_1(0, x) = v_{10}(x), \quad \epsilon_1(0, x) = \epsilon_{10}(x) \quad (2.1)$$

¹ Николаевский В. Н. Предельная скорость фронта разрушения и динамические перегрузки материалов. Препринт Ин-та проблем механики АН СССР. М., 1979. № 123. 59 с.

$$\begin{aligned}\gamma_1(0, x) &= \gamma_{10}(x) \quad x_1 < x < 0; \\ u_2(0, x) &= u_{20}(x), \quad v_2(0, x) = v_{20}(x); \\ \varepsilon_2(0, x) &= \varepsilon_{20}(x), \quad \gamma_2(0, x) = \gamma_{20}(x) \quad 0 < x < x_2\end{aligned}$$

Требуется найти в некоторой окрестности (x_1, x_2) функции $u_1(t, x)$, $v_1(t, x)$, $\varepsilon_1(t, x)$, $\gamma_1(t, x)$, $u_2(t, x)$, $v_2(t, x)$, $\varepsilon_2(t, x)$, $\gamma_2(t, x)$, линию $x_0=x_0(t)$, $x_0(0)=0$, такие, что u_1 , v_1 , ε_1 , γ_1 удовлетворяют системе (1.2) при $i=1$ слева от линии $x_0=x_0(t)$, а функции u_2 , v_2 , ε_2 , γ_2 удовлетворяют системе (1.2) при $i=2$ справа от линии $x_0=x_0(t)$, причем на линии $x_0=x_0(t)$ должны быть выполнены уравнения (1.3), (1.4) и уравнение (1.5), если $D \neq 0$. Линия $x_0=x_0(t)$ определяет траекторию фронта разрушения, если $D \neq 0$. (Для простоты рассматривается случай $p_0=0$, $\rho_1 \approx \rho_2$.)

Рассмотрим три области:

$$\begin{aligned}G &= \{t, x: 0 < t < T, x_1 + a_1 t < x < x_2 - a_2 t\} \\ G_1 &= \{t, x: 0 < t < T, x_1 + a_1 t < x < x_0(t)\} \\ G_2 &= \{t, x: 0 < t < T, x_0(t) < x < x_2 - a_2 t\}\end{aligned}$$

Очевидно, что $G = G_1 \cup G_2$. Здесь линия $x = x_1 + a_1 t$ (прямая 1) — характеристика системы (1.2) при $i=1$, линия $x = x_2 - a_2 t$ (прямая 2) — характеристика системы (1.2) при $i=2$ (фигура).

Возьмем произвольную точку $P(t_0, x_0(t_0))$ на линии $x_0=x_0(t)$ (прямая 3) и пусть целое число m_1 обозначает число характеристик системы (1.2) при $i=1$, проходящих через точку P и пересекающих область G_1 при $t > t_0$, а целое число m_2 обозначает число характеристик системы (1.2) при $i=2$, проходящих через P и пересекающих область G_2 при $t > t_0$.

Далее рассмотрим две вспомогательные задачи. В области G_1 найти решение системы (1.2) при $i=1$, удовлетворяющее начальным условиям (2.1) на отрезке $(x_1, 0)$, а на линии $x_0=x_0(t)$ будем считать известными m_1 функций из числа u_1 , v_1 , ε_1 , γ_1 . Аналогично рассмотрим вторую задачу: в области G_2 найти решение системы (1.2) при $i=2$, удовлетворяющее начальным условиям (2.1) на отрезке $(0, x_2)$, а на линии $x_0=x_0(t)$ будем считать известными m_2 функций из числа u_2 , v_2 , ε_2 , γ_2 . Тогда из теоремы существования и единственности для систем линейных гиперболических уравнений с двумя независимыми переменными следует, что каждая задача имеет единственное решение, непрерывное вплоть до границы [9].

Таким образом, решения рассмотренных выше двух вспомогательных задач дают решение исходной задачи, если m_1 функций, заданных на линии $x_0=x_0(t)$ со стороны области G_1 и m_2 функций, заданных на линии $x_0=x_0(t)$ со стороны области G_2 , удовлетворяют уравнениям (1.3)–(1.5) на фронте $x_0=x_0(t)$. Если $m_1+m_2+1 > 5$, то получим неопределенную систему уравнений, которая, вообще говоря, имеет неединственное решение. Если $m_1+m_2+1 < 5$, то система уравнений будет переопределенной и, вообще говоря, неразрешимой. Следовательно при $m_1+m_2=4$ решение исходной локальной задачи Коши, если оно существует, единственно.

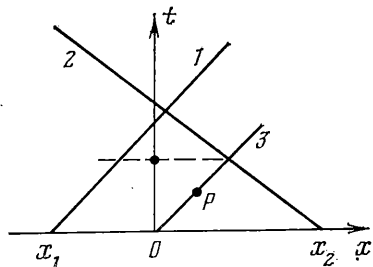
Учитывая неравенства (1.1), наложенные на скорости продольных и поперечных волн, и условие $m_1+m_2=4$, легко показать, что величина скорости фронта разрушения должна удовлетворять неравенствам

$$0 < D < b_1, \quad b_2 < D < a_1. \quad (2.2)$$

Приведем более строгие аргументы о невозможности движения фронта разрушения со сверхзвуковыми скоростями, $D > a_2$. В этом случае нет характеристик системы (1.2) при $i=2$, проходящих через любую точку $P(t_0, x_0(t_0))$ на линии $x_0=x_0(t)$ и пересекающих область G_2 перед фронтом при $t > t_0$. Из этого следует, что в области G_2 существует единственное непрерывное вплоть до границы решение $u_2 = u_2(t, x)$, $v_2 = v_2(t, x)$, $\varepsilon_2 = \varepsilon_2(t, x)$, $\gamma_2 = \gamma_2(t, x)$ вспомогательной задачи, зависящее только от начальных условий на отрезке $(0, x_2)$. Тогда очевидно, что предельные значения функций $\varepsilon_2 = \varepsilon_2(t, x)$, $\gamma_2 = \gamma_2(t, x)$ при $(t, x) \rightarrow (t_0, x_0(t_0))$ в общем случае не будут удовлетворять критерию разрушения перед фронтом, а значит, задача о движении фронта окажется неразрешимой. Следовательно, сверхзвуковое движение фронта в схеме с силовым критерием невозможно. Однако если ввести в схему какие-либо дополнительные внешние факторы, то вполне возможно, что скорость D может оказаться сверхзвуковой.

Вернемся к неравенствам (2.2) и покажем, в чем состоит внутреннее противоречие рассматриваемой схемы разрушения.

Будем считать, что в момент времени $t=0$ приводятся в соприкосновение два предварительно напряженных полупространства. Как и выше, примем, что полуправило $x < 0$ соответствует разрушенному материалу, полуправило $x > 0$ — неразрушенному. Примем также, что в начальный момент времени $t=0$ в каждом полуправиле напряжения и скорости не зависят от x , а при $x > 0$ скорость рав-



на нуль (очевидно, что этого можно достичь переходом в соответствующую подвижную систему координат). Рассматриваемая здесь задача отличается от сформулированной выше локальной задачи Коши тем, что начальные условия приняты постоянными и задача ставится не на конечном отрезке (x_1, x_2) , а на всей оси OX .

В зависимости от начальных условий решение задачи должно иметь одну из следующих структур: 1) разлет полупространств, т. е. при $t>0$ полупространства не контактируют; 2) при $t>0$ полупространства находятся в контакте друг с другом, фронта разрушения нет и напряжения нигде не превышают критерия разрушения, $\varepsilon_0=0$; 3) при $t>0$ начинается разрушение на фронте, распространяющемся со скоростью $D>0$. Очевидно, как строится решение в первых двух случаях. Остановимся подробнее на построении решения в третьем случае.

При $t>0$ структура решения зависит от величины скорости фронта разрушения D . Если $0<D< b_1$, то решение отыскивается в виде комбинации следующих волн: в полупространстве $x<0$ распространяются в отрицательном направлении оси OX упругие продольная и поперечная волны, в полупространстве $x>0$ распространяются фронт разрушения со скоростью D , упругие продольная и поперечная волны. Если $b_2 < D < a_1$, то в полупространстве $x<0$ распространяются упругая продольная и две поперечные волны, одна в отрицательном направлении оси OX , другая — в положительном; в полупространстве $x>0$ распространяется фронт разрушения и упругая продольная волна. В обоих случаях задача сводится к определению четырех величин $u_1, v_1, \varepsilon_1, \gamma_1$ за фронтом разрушения и четырех величин $u_2, v_2, \varepsilon_2, \gamma_2$ перед фронтом разрушения и скорости фронта D из четырех уравнений (1.3), (1.4), уравнения (1.5) и четырех уравнений на фронте каждой упругой волны, связывающих значения инвариантов Римана перед фронтом упругой волны со значением за фронтом волны.

Таким образом, для определения девяти величин $u_1, v_1, \varepsilon_1, \gamma_1, u_2, v_2, \varepsilon_2, \gamma_2, D$ имеем девять уравнений, которые, за исключением уравнения, соответствующего критерию разрушения, линейны по всем переменным, кроме D . Выражая через D все остальные неизвестные и подставляя их в критерий разрушения, сводим задачу к решению одного уравнения относительно D :

$$\psi(D, u_{10}, v_{10}, \varepsilon_{10}, \gamma_{10}, u_{20}, v_{20}, \varepsilon_{20}, \gamma_{20}) = \varphi(\sigma_{ij}(D)) = 0 \quad (2.3)$$

Здесь параметры $u_{10}, v_{10}, \varepsilon_{10}, \gamma_{10}$ ($i=1, 2$) обозначают начальные условия при $x<0$ и $x>0$ соответственно.

Рассмотрим вначале одномерную задачу, когда касательные напряжения всюду равны нулю, т. е. $\gamma_{10}=0$. Легко показать, что в этом случае решение задачи распада единственны при условии, что начальные условия при $x>0$ не нарушают критерий разрушения (1.5). Единственность означает, что при $t>0$ два полупространства либо отскакивают друг от друга, либо находятся в контакте друг с другом, и тогда напряжения на контакте между ними не нарушают критерий разрушения, либо существует решение с фронтом разрушения, причем скорость фронта удовлетворяет неравенству $0 < D < a_1$. В частности, в этой задаче скорость фронта D может лежать на интервале (b_1, b_2) ; по-прежнему считаются выполненными неравенства (1.1).

Предположим, что начальные условия одномерной задачи таковы, что скорость фронта $D_* \in (b_1, b_2)$. Кроме того, при $t=0$ к каждому полупространству приложены сколь угодно малые касательные напряжения ($\gamma_i \ll 1$). Тогда решение задачи распада с такими начальными условиями должно удовлетворять ограничениям (2.2), т. е. скорость фронта D не должна лежать на интервале (b_1, b_2) , а для гладких функций $\varphi=\varphi(\sigma)$ по теореме о неявной функции [10] уравнение (2.3) имеет решение D , близкое к D_* , значит, $D \in (b_1, b_2)$. Получилось противоречие, которое можно сформулировать в виде утверждения. Если начальные условия $u_1, v_1, \varepsilon_1, u_2, v_2, \gamma_2$ задачи распада таковы, что одномерная задача распада с начальными условиями $u_1, \varepsilon_1, u_2=0, \varepsilon_2$ имеет решение с фронтом разрушения и скорость фронта D принадлежит интервалу (b_1, b_2) , то исходная задача разрешима неединственным образом.

Важно подчеркнуть, что некорректность задачи имеет место только при сложном напряженном состоянии, тогда как одномерная задача разрешима единственным образом. В этой связи возникает вопрос, будет ли корректной задача о движении фронта разрушения при сложном напряженном состоянии, если разрушенный материал описывается моделью упругопластического течения.

Замечание. Утверждение о противоречивости рассмотренной схемы разрушения было основано на априорных неравенствах (1.1) и вытекающих из последующих рассуждений неравенствах (2.2). Возникает вопрос, как изменятся выводы, если вместо условий (1.1) взять другие. Можно показать, что при $a_1 > a_2$ уже одномерная задача распада будет разрешима ни при любых начальных условиях и не будет иметь решений с фронтом разрушения. Так что ограничение $a_1 < a_2$ существенно. Если $b_1 > b_2$, то вместо ограничений (2.2) будут ограничения $0 < D < b_2, b_1 < D < a_1$, а вывод о противоречивости схемы останется в силе.

Ограничения (2.2) сохраняют силу и в более общем случае, когда критерий разрушения зависит от скорости фронта разрушения D , а также от предельных значений всех величин $u, v, \varepsilon, \gamma$ как перед фронтом, так и за ним.

Автор благодарит Н. В. Зволинского за внимание к работе и С. С. Григоряна за обсуждение.

ЛИТЕРАТУРА

1. Николаевский В. Н., Лившиц Л. Д., Сизов И. А. Механические свойства горных пород: Деформации и разрушение.— В кн.: Итоги науки и техники. Сер. Механика твердых деформируемых тел. М.: ВИНИТИ, 1978, т. 11, с. 123—250.
2. Ставрогин А. А., Протосеня А. Г. Пластичность горных пород. М.: Недра, 1979. 301 с.
3. Григорян С. С. Некоторые вопросы математической теории деформирования и разрушения горных пород.— ПММ, 1967, т. 31, вып. 4, с. 643—669.
4. Слепян Л. И. О волне хрупкого разрушения.— Инж. ж. МТТ, 1968, № 4, с. 190—192.
5. Галин Л. А., Черепанов Г. П. О самоподдерживающемся разрушении напряженного хрупкого тела.— Докл. АН СССР, 1966, т. 167, № 3, с. 543—546.
6. Слепян Л. И., Троянкина Л. В. Разрушение хрупкого стержня при продольном ударе.— Изв. АН СССР. МТТ, 1969, № 2, с. 63—72.
7. Черепанов Г. П. Механика хрупкого разрушения. М.: Наука, 1974. 640 с.
8. Григорян С. С. О некоторых работах по разрушению хрупких тел в динамических условиях.— Изв. АН СССР. МТТ, 1977, № 1, с. 173—181.
9. Курант Р. Уравнения с частными производными. М.: Мир, 1964. 830 с.
10. Смирнов В. Й. Курс высшей математики. Т. 1. М.—Л.: Гостехиздат, 1952. 472 с.

Москва

Поступила в редакцию
21.X.1985